
프랙털 영상 부호화에 관한 연구

김용연*

A Study on Fractal Image Coding

Yong-Yeon Kim*

요 약

본 논문에서는 프랙털 영상 부호화시 부호화 시간이 장시간 소요되는 단점을 보완하기 위한 고속 프랙털 영상 부호화 알고리즘을 제안하고, 그 알고리즘의 성능을 기존의 방법과 비교 분석하였다. 기존의 프랙털 영상 부호화 방식은 원 영상을 축소하여 비교될 영상으로 만들고, 축소된 영상에 대한 원 영상의 축소변환의 고정점을 얻기 위해 축소된 영상의 전체 영역을 탐색함으로써 많은 부호화 시간이 소요되었다. 그러나 제안한 알고리즘은 스케일링과 탐색영역제한 방식을 이용하여 부호화 시간을 대폭 단축시켰다. 그 결과로서 Jacquin 방법과의 비교 시 제안한 알고리즘은 수십배 이상의 부호화 시간을 단축시켰으며, 복원된 영상의 화질은 다소 감소하고 압축률은 약간 증가하였다. 따라서 제안한 알고리즘이 기존의 방법들에 비해 부호화 시간 면에서 크게 향상되었음을 확인할 수 있었다.

ABSTRACT

In this paper, we propose a fast fractal image coding algorithm to shorten long time to take on fractal image encoding. For its performance evaluation, the algorithm compares with other traditional fractal coding methods. In the traditional fractal image coding methods, an original image is contracted by a factor in order to make the corresponding image to be compared with. Then, the whole area of the contracted image is searched in order to find the fixed point of contractive transformation of the original image corresponding to the contracted image. It needs a lot of searching time on encoding. However, the proposed algorithm considerably reduces encoding time by using scaling method and limited search area method. On comparison of the proposed algorithm with Jacquin's method, the proposed algorithm is dozens of times as fast as that of Jacquin's method on encoding time with a little degradation of the decoded image quality and a little increase of the compression rate. Therefore, it is found that the proposed algorithm largely improves the performance in the aspect of encoding time when compared with other fractal image coding methods.

키워드

fractal image coding, scaling method, limited search area method, Jacquin's method
프랙털 영상 부호화, 스케일링 방법, 영역탐색제한 방법, 재퀸 방법

1. 서론

256 그레이 레벨을 가지는 256×256 크기의 영상을

1초에 30프레임을 전송할 경우 거의 15.7×10^6 비트/초의 데이터를 전송하여야 하며, 1프레임의 영상만을 대상으로 한다고 해도 대략 0.52×10^6 비트/초가 필요하

* 인천대학교 정보통신과(yykim@icc.ac.kr)

접수일자 : 2012. 04. 10

심사(수정)일자 : 2012. 04. 30

게재확정일자 : 2012. 06. 07

다. 따라서 이러한 방대한 양의 영상정보를 전송 및 저장하기 위해서 영상 압축 기법의 개발이 필수 불가결한 요인으로 대두되어, 이와 관련된 많은 연구가 활발히 진행되어 왔다. 지금까지 연구되어온 영상 압축 기법에는 주로 변환 부호화, 벡터양자화, 대역분할 부호화, 예측 부호화, 엔트로피 부호화, 웨이브렛 부호화, 프랙털 부호화[1,2,3]등이 있으며, 그 중에서도 프랙털 부호화는 최근 들어 더욱 활발하게 연구가 진행되고 있다.

프랙털이라는 단어는 한 부분이 전체의 모습을 대표하는 형상이라는 뜻을 내포하고 있으며, 프랑스의 수학자인 Mandelbrot[4,5]가 처음으로 프랙털에 관한 이론을 정립시켰다. 그 이후 80년대에 Michael Barnsley[6,7,8]는 프랙털 영상 부호화기법으로서 IFS (Iterative Function System)를 제시하여 높은 압축률로서 영상을 부호화하였으나, 수동적 방법으로 인하여 많은 시간이 요구되었다. Jacquin[9,10,11]은 기존의 수동적 방법에 의한 프랙털 영상 부호화를 자동화하는 영상 부호화 알고리즘을 제시하였다. Jacquin의 방식은 원 영상과 원 영상을 1/2로 축소한 영상을 각각 같은 크기의 치역(Range) 블록과 정의역(Domain) 블록으로 분할한 후, 원 영상의 치역 블록과 가장 유사한 정의역 블록을 1/2 축소 영상에서 찾았다. 이 방식에서는 많은 블록을 찾기 위해 1/2로 축소된 영상의 전체 영역을 탐색하기 때문에 계산량이 증가하고 부호화 과정에 많은 시간이 소요되었다. 반면에 Monro [12]는 독립적인 블록 단위로 부호화를 수행하는 방법을 제안하여 부호화 시간을 단축시켰으나, 그 방법은 블록 단위가 고정되어 복원된 영상의 경계면에 불연속이 심하게 존재하여 영상 화질이 크게 떨어졌다.

본 논문에서 제안한 방식은 먼저, 스케일링 방식을 이용하여 원 영상을 1/2과 1/4로 축소하고, 1/2 축소 영상과 1/4 축소 영상을 각각 4x4 크기의 치역 블록과 정의역 블록으로 분할한다. 그 다음, 1/2 영상의 치역 블록과 가장 유사한 정의역 블록을 1/4 축소된 영상에서 찾되, 1/4로 축소된 영상의 제한된 영역만을 탐색한다. 이 때, 대상 블록이 윤곽선(Edge) 영역일 경우에는 2x2 크기의 블록으로 분기하여 탐색을 수행한다.

본 논문은 다음과 같이 구성된다. 1장 서론에 이어 2장에서는 프랙털 부호화의 이론적 배경에 대해서 간

단하게 언급하고, 3장에서는 제안한 프랙털 부호화 방법을 기술한다. 4장 실험결과 및 검토에서는 시뮬레이션 결과를 통해 제안한 방법과 기존의 방법을 비교·분석하고, 5장에서 결론을 맺는다.

II. 프랙털 부호화의 이론적 배경

2.1 IFS 개념

IFS는 회전(Rotation), 스케일링(Scaling), 투영(Reflection) 및 평행이동(Translation)의 조합을 나타내는 유사변환(Affine transformation)으로 구성되며, 식 (1)과 같이 표현된다.

$$\begin{bmatrix} x' \\ y' \end{bmatrix} = W \begin{bmatrix} x \\ y \end{bmatrix} = \begin{bmatrix} a & b \\ c & d \end{bmatrix} \begin{bmatrix} x \\ y \end{bmatrix} + \begin{bmatrix} e \\ f \end{bmatrix} \quad (1)$$

식 (1)은 평면상의 좌표 (x,y)가 계수 a,b,c,d,e,f에 의해 새로운 점 (x',y')로 변환됨을 의미한다. a,b,c,d는 표1에 나타난 바와 같이 8가지의 등장(等長)변환(Isometry)을 나타내며 e,f는 평행이동을 나타낸다.

표 1. 8방향 등장변환
Table 1. Eight directional isometry

Symmetry	Matrix	Description
0	$\begin{pmatrix} 1 & 0 \\ 0 & 1 \end{pmatrix}$	동일
1	$\begin{pmatrix} -1 & 0 \\ 0 & 1 \end{pmatrix}$	y축에 대한 반사
2	$\begin{pmatrix} 1 & 0 \\ 0 & -1 \end{pmatrix}$	x축에 대한 반사
3	$\begin{pmatrix} -1 & 0 \\ 0 & -1 \end{pmatrix}$	180°회전
4	$\begin{pmatrix} 0 & 1 \\ 1 & 0 \end{pmatrix}$	x=y축에 대한 반사
5	$\begin{pmatrix} 0 & 1 \\ -1 & 0 \end{pmatrix}$	90°회전
6	$\begin{pmatrix} 0 & -1 \\ 1 & 0 \end{pmatrix}$	270°회전
7	$\begin{pmatrix} 0 & -1 \\ -1 & 0 \end{pmatrix}$	y=-x축에 대한 반사

IFS를 구성하는 유사 변환식들은 고정점(Fixed point)을 갖기 위해서 축소 변환(Contractive trans-

formation)이어야 하며, 그 조건식은 식(2)와 같이 나타낼 수 있다.

$$d(W(A), W(B)) \leq s \cdot d(A, B) \quad (2)$$

$$\forall A, B \in U, \quad 0 \leq s < 1$$

위식에서 U는 측도 공간(Metric space)을 나타내며, d는 Hausdorff 거리(distance)[6]를 나타낸다. 그리고 s는 변환식 w에 대한 축소율이다.

2.2 프랙털 영상 부호화

영상은 화소의 값으로 인하여 2차원적 성격이 아닌 3차원적 성격을 가지므로 일반적인 유사 변환은 다음과 같이 3차원 모델로 표현할 수 있다

$$\begin{bmatrix} x' \\ y' \\ z' \end{bmatrix} = w_i \begin{bmatrix} x \\ y \\ z \end{bmatrix} = \begin{bmatrix} a_i & b_i & 0 \\ c_i & d_i & 0 \\ 0 & 0 & P \end{bmatrix} \begin{bmatrix} x \\ y \\ z \end{bmatrix} + \begin{bmatrix} R_x \\ R_y \\ Q_i \end{bmatrix} \quad (3)$$

위식에서 ai,bi,ci,di와 Rx,Ry는 식(1)의 의미와 같으며, 계수 P는 0보다 크고 1보다 작은 값을 가지는 양수로써 Qi와 함께 변환된 화소 값을 나타낸다. 식(4)의 유사 변환식에 의해 원 영상의 치역 블록이 1/2 축소 영상의 정의역 블록과 비교연산에 의해 왜곡이 가장 적은 정의역 블록을 수축 변환점으로 선택하는 프랙털 부호화 방법을 그림 1에 나타내었다.

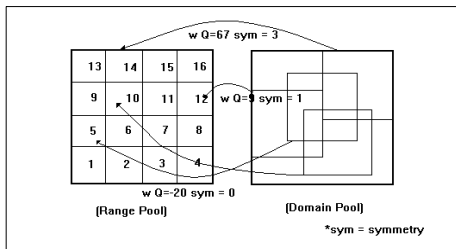


그림 1. 프랙털 부호화
Fig. 1 Fractal coding

그림에서 좌측 블록은 치역을 나타내고, 우측 블록은 정의역을 나타내고 있다. wQ의 의미는 분할된 정의역과 치역 블록 간의 평균 화소값 간의 차에 대한 수치를 나타내는 것이며, sym은 표 1에 나타난 바와

같이 8가지의 대칭변환 중 가장 적합한 변환의 번호를 의미한다. 그림 1의 맨 위에 나타난 wQ=67 sym=3에서 wQ=67은 해당 정의역 블록과 치역 블록 14간의 평균 화소값의 차가 67임을 의미하며, sym=3은 대칭 변환 3번 즉, 180°회전을 의미하는 것이다. 따라서 치역 블록 14는 대칭 변환 3번을 적용해서 가장 적은 왜곡 값을 나타내는 해당 정의역 블록으로 부호화되는 것이다.

III. 제안한 프랙털 영상 부호화 방법

3.1 탐색 영역의 제한

기존의 프랙털 부호화 방법에서는 원 영상의 치역 블록이 축소 변환되는 점을 찾기 위해서 축소된 영상의 정의역 블록들과 비교[9,10,11]하였다. 이 때, 축소 변환의 고정점을 찾기 위해서는 축소된 영상의 전체 정의역 블록들에 대해 비교가 되기 때문에 상당량의 연산 후 원 영상의 치역 블록에 대해 최소의 에러를 나타내는 대응 정의역 블록을 찾아 부호화하였다. 그 경우 대부분의 256×256 크기의 영상 부호화시 486 DX/2 66MHz 컴퓨터를 사용하여 최소한 10시간 이상의 연산을 필요로 하였다. 그러므로 부호화 시간을 효율적으로 줄이기 위해서 Jacquin은 블록 분류 방식을 사용하여 축소된 영상에 대한 탐색시간 및 비교 연산 시간을 줄였으며[9,10,11], Monro는 윤곽선 블록에 대해 그 블록을 4등분하고 4등분된 부분블록들에 대해서만 탐색을 수행하였다[12]. 또한 스케일링 방식에서는 치역 블록과 정의역 블록의 크기를 축소시킴으로써 비교 연산 시간을 단축시켰다.

원 영상의 축소 변환점은 축소된 영상의 좌표주위이며 따라서 탐색영역을 그 좌표 주위로 한정한다면 탐색영역을 줄일 수가 있음을 그림 2에서 잘 보여주고 있다. 그림 2에서는 축소되지 않은 흑백 원 영상에 대한 정의역 블록을 축소 변환시켜 그에 대응하는 원 영상의 치역 블록을 찾는 방법을 도시하였다. 그림에서 상단에 위치한 블록들은 치역 블록에 해당하며, 하단에 위치한 블록들은 치역 블록에 해당한다. W는 축소 변환을 의미하는 것으로 Collage 이론을 나타내고 있으며, 각각의 D(정의역) 블록을 축소 변환하여 각각의 R(치역) 블록을 구할 수 있음을 나타낸다. 표2

에는 그림 2에 대한 IFS 코드를 나타내었다. 표 2의 결과는 원 영상의 치역 블록에 대한 축소 변환점은 바로 이웃한 원 영상의 정의역 블록에서 찾을 수 있음을 보여준다[6].

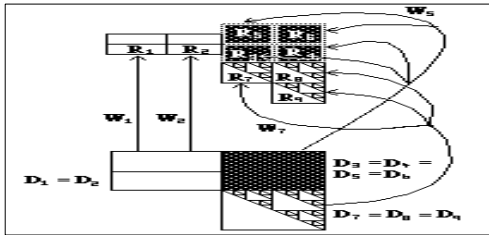


그림 2. 치역 블록 R_i와 정의역 블록 D_i의 대응
Fig. 2 Relationship between range block R_i and domain block D_i

표 2. 그림 2에 대한 IFS 코드
Table 2. IFS codes for Fig. 2

Map#	Rx	Ry	Dx	Dy	Symmetry
1	0	2.5	0	2	0
2	1	2.5	0	2	0
3	2	2	2	2	0
4	3	2	2	2	0
5	2	3	2	2	0
6	3	3	2	2	0
7	2	1	2	0	0
8	3	1	2	0	0
9	3	0	2	0	0

위의 이론 즉, 2가지의 화소값만을 가지는 흑백 영상에 대한 프랙털 변환에 대한 이론은 256가지의 화소값을 가지는 그레이스케일(Grayscale) 영상[6]에 대해서도 적용될 수 있다. 그레이스케일 영상의 경우 8×8블록 단위로 그 주변에 한정하여 탐색을 할 경우, 정확한 축소 변환점을 찾지 못하는 경우가 존재한다. 이것은 영상이 화소값을 가짐으로 흑백영상과 다른 이유이다. 선택되어진 블록이 단순한 화소의 분포를 보인다면 흑백영상과 같은 원리로 그 주변에서만 축소 변환점을 찾는 것이 가능하나, 선택되어진 블록이 다양한 화소값을 갖는다면 축소된 영상의 주변블록들에 대해서만 축소 변환점을 찾는 것은 무리이다. 따라서 선택되어진 블록이 다양한 분포의 화소값을 갖는 윤곽선 블록인 경우는 4개의 블록으로 세분하여 축소 영상의 주변 블록에서 탐색한다면 상대적으로 화소 분포가 줄어들어 축소 변환점을 찾는 것이 가능하다.

본 논문에서는 먼저 스케일링 방식을 이용하여 원

영상을 1/2과 1/4로 축소한 후, 1/2 축소 영상과 1/4 축소 영상을 이용한다. 이러한 축소 영상을 그림 3에 나타내었다. 1/2 축소 영상의 치역블록과 가장 유사한 정의역 블록을 1/4 축소 영상에서 찾되, 그림 4와 같은 방법으로 탐색영역을 제한함으로써 부호화 시간을 줄였다. 그림 4에서 보는 바와 같이 축소 영상은 9개의 영역으로 분리를 할 수가 있다. 각 영역에 따라 탐색 영역도 각기 다르게 진행된다. a는 x,y축의 양의 방향으로 각각 8화소의 영역만을 조사하며, c는 x축의 음의 방향으로 8화소 영역 그리고 y축의 양의 방향으로 8화소 영역을 g는 x축의 음의 방향 8화소 영역 그리고 y축의 양의 방향 8화소 영역을 조사하고, i의 탐색 영역은 x,y축의 음의 방향으로 각각 탐색을 한다. b의 탐색영역은 x축의 음의 방향으로 4화소 영역 양의 방향으로 4화소 영역 그리고 y축의 양의 방향으로 8화소 영역을 탐색하게 되고, d는 y축의 음의 방향 4화소 영역 양의 방향으로 4화소 영역 그리고 x축의 양의 방향으로 8화소 영역을 조사한다. f의 탐색 영역은 x축의 음의 방향으로 8화소 영역을 탐색하고 y축의 음과 양의 방향으로 4화소씩 각각 조사하게 된다. h는 반대로 y축의 음의 방향 8화소 영역을 조사하며 x축의 음과 양의 방향으로 4화소씩 각각 조사하게 된다. 마지막으로 중앙 부분의 e 영역은 x,y축의 음과 양의 방향으로 각각 4화소 영역을 1화소씩 움직이며 탐색을 하게 된다. 물론 지금까지 설명한 탐색 방법에는 대각선 방향도 포함된다. 만약 위의 각 영역에서 선택되어진 블록이 화소의 활동도가 높은 윤곽선 블록인 경우는 2×2 블록으로 분기하여 각 영역에 해당되는 탐색영역을 조사하게 된다. 따라서 본 논문에서 사용된 알고리즘은 축소 영역이 국부적으로 제한되어 부호화 시간이 상대적으로 극히 짧아짐을 알 수 있다. 또한 본 논문에서 단순 블록과 윤곽선 블록을 분류하기 위해 사용한 블록 분류기는 다음 수식과 같다.

$$\sum_{i=1}^{B^2-1} (P_i - P_{i+1}) \geq Th \tag{4}$$

위식에서 B는 모(Parent) 블록과 자(Child) 블록의 크기를 나타내고, P는 각 블록내의 화소값을 나타낸다. 따라서 식 (3)의 의미는 인접 화소값 간의 차의

합이 임계치(Threshold) Th 값보다 크거나 같으면, 윤곽선 블록으로 분류되고, 그 미만이 되면, 단순 블록으로 분류한다. 그 다음, 윤곽선 블록으로 분류된 모블록은 다시 $B/2$ 의 크기를 갖는 4개의 동일 크기의 자블록으로 분할된다. 이렇게 분할된 4개의 자블록에 대해서도 동일한 방법으로 단순 블록과 윤곽선 블록을 분류한다.



(a)1/2 축소영상
(a)1/2 contracted image



(b)1/4 축소영상
(b)1/4 contracted image

그림 3. 논문에서 사용된 축소 영상
Fig. 3 Contracted image used in this paper

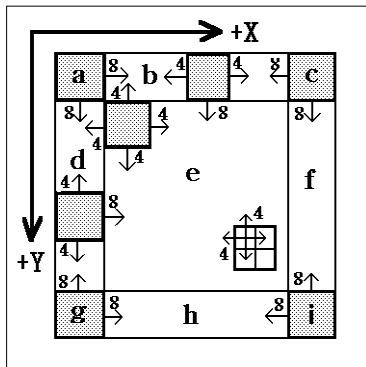


그림 4. 위치에 따른 탐색영역 분류
Fig. 4 Positional classification of search area

3.2 비트 할당

비트 할당은 단순 영역과 윤곽선 영역으로 구분하여 처리하였다. 단순 영역의 경우에는 블록의 형태를 표현하기 위한 1 비트와 단위 블록간의 평균 화소값의 차를 표현하기 위한 9 비트, 그리고 좌표값에 6비

트가 필요하므로 총 16 비트를 할당한다. 윤곽선 영역의 경우에는 블록의 형태와 평균 화소값의 차뿐만이 아니라, 좌표값과 등 장변환값이 필요하므로 총 19 비트를 할당한다. 평균 화소값의 차에는 부호 비트가 포함된 것이다. 이것을 표 3에 나타낸다.

표 3. 비트 할당
Table 3. Bits allocation

영역	구분	세부할당 (bits)	총할당 (bits)
단순영역	블록형태	1	16
	평균 화소값의 차	9	
	좌표값	6(3+3)	
윤곽선 영역	블록형태	1	19
	평균 화소값의 차	9	
	좌표값	6(3+3)	
	등장 변환값	3	

비트 계산은 다음과 같다. 먼저, 영상을 두 가지 형태의 블록 즉, 단순영역 블록과 윤곽선 영역 블록의 정보를 표현하는데 소요되는 비트를 각각 I_s, I_e 로 나타내고, 영상에서 분류된 단순 블록과 윤곽선 블록의 총 갯수를 각각 N_s, N_e 로 나타내도록 한다. 그리고, 영상에서 최초로 분할한 블록 즉, 모블록의 크기를 $B \times B$ 라 하고, 윤곽선 블록인 경우에 다시 한 번 분할한 블록 즉, 자블록의 크기를 $B/2 \times B/2$ 라 할 때, 비트율의 계산은 다음식과 같다.

$$\frac{N_p I_c + N_s I_s + N_e I_e}{N_p B^2} \text{ bpb(bit/pixel)} \quad (5)$$

위 식에서 I_c 는 모블록에서 자블록의 분할에 대한 배열을 나타내는데 필요한 4비트가 소요된다. 다시 말해서, 그러한 경우는 모두 12가지 - 1 parent no child의 한 가지 경우, 1 parent 1 child의 네 가지 경우, 1 parent 2 children의 여섯 가지 경우, no parent 4 children의 한 가지 경우 - 가 존재하게 된다. 따라서 12가지의 배열을 표현하기 위해서는 4비트가 필요하다. N_p 는 영상에서 모블록의 총 개수를 나타낸다.

3.3 복호화

전송되어진 프랙털 부호화 값을 이용하여 블록의

형태에 따라 복호화를 진행한다. 블록의 형태가 단순 영역인 경우는 4×4 블록단위로 복호화가 진행되며, 윤곽선 블록인 경우 2×2 블록단위로 복호화가 진행된다. 물론, 이러한 복호화는 반복(Iteration)을 통하여 진행되는데 통상 8회 이상의 반복 이후에는 PSNR의 차이가 거의 없기 때문에 반복 횟수를 8회로 제한하였다.

3.4 화질 평가

재구성된 영상의 화질을 평가하는 방법으로 RMSE (Root Mean Square Error)와 PSNR(Peak Signal to Reconstruction Noise Error)을 사용하였다[13]. B×B 영상을 A라 하고, 복원된 영상을 \hat{A} 라 표시하면, RMSE는 다음과 같은 식 (6)으로 표시된다.

$$RMSE = \sqrt{\frac{1}{B^2} \sum_{i=1}^B \sum_{j=1}^B (A(i, j) - \hat{A}(i, j))^2} \quad (6)$$

RMSE를 이용한 PSNR(dB)의 측정은 8비트(0~255) 영상에 대해 다음과 같은 식 (7)을 이용하여 계산하였다.

$$PSNR = 20 \log_{10} \left(\frac{255}{RMSE} \right) \quad (7)$$

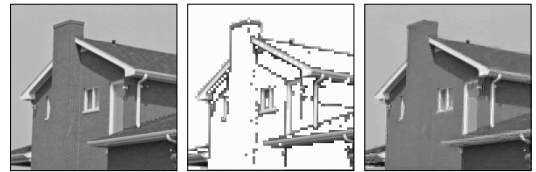
IV. 실험결과 및 고찰

실험에 사용된 영상은 256×256 크기의 Lenna, House, Peppers, Salesman의 4가지 표준 영상이다. 이들 영상을 그림 5부터 그림 8까지의 (a)에 나타내었다. 시뮬레이션은 Intel(R) Core(TM)2 Duo CPU E8400 3GHz 컴퓨터를 이용하였으며, 시뮬레이션의 결과를 그림 5부터 그림 8까지의 (b)와 (c)에 각각 나타내었다. 각 그림의 (b)는 분류기(Classifier)를 통해 분류된 단순영역을 표시한 영상을 나타낸 것이고, (c)는 복원된 영상을 각각 나타낸 것이다. 또한 제안한 방법과 스케일링 방법 그리고 Jacquin 방법 간의 성능 비교를 표 4에 나타내었다. 표에서 보는 바와 같이 부호화 시간은 Jacquin 방법의 경우 수시간대가 소요되고, 스케일링

방법의 경우 수 십분 대가 소요되는 것을 알 수 있다. 그러나 제안한 방법은 부호화에 소요되는 시간은 불과 수 십초 대인 것을 확인할 수 있다. 압축률 면에서도 세 가지 방법 중에서 제안한 방법이 가장 효율적인 것을 알 수 있다. PSNR은 제안한 방법이 Jacquin 방법에 비해 약간 떨어지기는 하나 큰 차이는 없으며, 그림 5부터 그림 8까지의 영상을 비교해 보더라도 시각적인 차이는 거의 느낄 수 없다. [10]



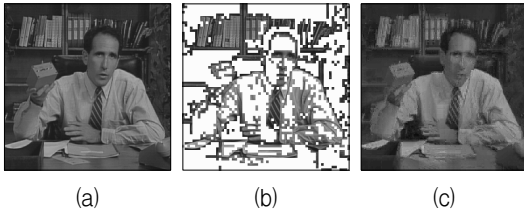
(a) 원 영상 (b) 분류된 단순영역 (c) 복원된 영상
그림 5. Lenna 영상
(a) The original image (b) The classified shade block (c) The decoded image
Fig. 5 Lenna image



(a) 원 영상 (b) 분류된 단순영역 (c) 복원된 영상
그림 6. House 영상
(a) The original image (b) The classified shade block (c) The decoded image
Fig. 6 House image



(a) 원 영상 (b) 분류된 단순영역 (c) 복원된 영상
그림 7. Peppers 영상
(a) The original image (b) The classified shade block (c) The decoded image
Fig. 7 Peppers image



(a) 원 영상 (b) 분류된 단순영역 (c) 복원된 영상
 그림 8. Salesman 영상
 (a) The original image (b) The classified shade block (c) The decoded image
 Fig. 8 Salesman image

표 4. 제안한 방법과 스케일링 및 Jacquin 방법의 성능 비교

Table 4. Performance comparison between proposed method, scaling method and Jacquin method

영상 \ 방법	제안된 방법		
	부호화시간	압축률(bpp)	PSNR(dB)
Lenna	3.5초	0.72	24.46
House	2.1초	0.40	28.49
Peppers	3.2초	0.58	27.36
Salesman	2.6초	0.56	26.40
영상 \ 방법	스케일링 방법		
	부호화시간	압축률(bpp)	PSNR(dB)
Lenna	1분 19.2초	0.83	24.08
House	22.5초	0.46	30.05
Peppers	48.5초	0.61	28.16
Salesman	1분 4.37초	0.70	22.47
영상 \ 방법	Jacquin 방법		
	부호화시간	압축률(bpp)	PSNR(dB)
Lenna	21분 54.9초	0.65	27.24
House	06분 27.5초	0.29	34.03
Peppers	27분 43.5초	0.85	32.57
Salesman	21분 38.7초	1.16	33.09

V. 결론

본 논문에서는 부호화 시간을 최소로 줄이기 위한 고속 프랙털 부호화 알고리즘을 제안하였다. 먼저, 기

존에 제시된 프랙털 부호화 방식인 Jacquin 방식과 스케일링 방식에 대해 설명하고, 그들에 대한 문제점을 제시하였다. 그리고 제시된 문제점을 해결하기 위해 스케일링 방식과 탐색영역제한 방식을 제안하여 시뮬레이션 함으로써 한층 발전된 결과를 얻을 수 있었다. 세 가지 방식에 대한 비교 결과, 부호화에 소요되는 시간은 Jacquin 방식과 스케일링 방식의 경우는 수 십분 대에서 수 십초 대가 소요되나, 제안한 방식의 경우에는 몇 초대로 감소된 것을 확인할 수 있었다. 압축률 면에서도 다른 두 가지 방식에 비해 제안한 방식이 약간 향상되었음을 알 수 있었다. 그러나 부호화 시간과 압축률을 향상시키기 위해 약간의 PSNR의 희생을 감수하였으나 좀 더 정교한 분류기를 사용한다면 떨어진 화질을 향상시킬 수 있을 것이다. 따라서 향후 더욱 효율적인 분류기에 대한 연구가 필요할 것으로 판단되며, 본 논문에서 제안한 알고리즘을 동영상 전송에 적용한다면 좋은 결과가 있을 것으로 기대된다.

감사의 글

본 논문 연구결과는 2011년도 인천대학교 교내연구비 원에 의한 것입니다.

참고 문헌

- [1] 이창기, 김대익, "웨이브렛 변환을 이용한 음성 의 적응 잡음 제거", 한국전자통신학회논문지, 4 권, 3호, pp. 190-196, 2009.
- [2] 한영오, "GRNN을 이용한 동영상 움직임 예측 및 대역분할 부호화에 관한 연구", 한국전자통신 학회논문지, 5권, 3호, pp. 256-261, 2010.
- [3] Y.Fisher, *Fractal Image Compression Theory and Application*, SPIE Optical Engineering Press, pp. 95-127, 1995.
- [4] H.O.Peitgen, H.Jürgens and D.Saupe, *Fractals for the Classroom*, Springer-Verlag, New York, Inc, pp. 12-45, 1991.
- [5] M.F.Barnsley and L.P.Hurd, *Fractal Image Compression*, AK Peters, Wellesley, Massachusetts, pp. 125-146, 1992.

- [6] M.F.Barnsley and S. Demko, "Iterated function systems and the global construction of fractals", Proc. of Royal Soc. London, Vol. A399, pp. 243-275, 1985.
- [7] M.F.Barnsley, *Fractals Everywhere*, Academic Press, Inc, pp. 210-251, 1988.
- [8] A.E.Jacquin, "A fractal theory of iterated Markov operators with applications to digital image coding", Ph.D. dissertation, Georgia Tech, pp. 12-210, 1989.
- [9] D.M.Monro and F.Dudbridge, "Fractal approximation of image blocks," ICASSP pp. 485~488, 1992.
- [10] 정재필, 김인재, "페이딩 채널에서 터보 등화기의 성능 분석", 한국정보기술학회논문지, 10권, 1호, pp. 91-96, 2012.

저자 소개



김용연(Yong-Yon Kim)

1973년 2월 광운대학교 응용전자
공학과 졸업(공학사)

1983년 2월 명지대학교 대학원 전
자공학과 졸업(공학석사)

2001년 8월 단국대학교 대학원 전자학과 졸업(공학
박사)

인천대학교 정보통신과 교수

※ 관심분야 : 이동통신시스템, 영상통신